



G

2	11_L/45,38	PEM	6310 W	70°	6°	2100 MHz
3	12_N/45,38	PEM	5675 W	70°	6°	1800 MHz
4	12_N/45,38	PEM	6310 W	70°	6°	2100 MHz
5	13_V/45,08	PEM	1904 W	70°	10°	800 MHz
6	14_GHT/45,08	PEM	1451 W	70°	8°	900 MHz
7	14_GHT/45,08	PEM	9890 W	70°	8°	2600 MHz
8	21_L/45,38	PEM	5675 W	200°	6°	1800 MHz
9	21_L/45,38	PEM	6310 W	200°	6°	2100 MHz
10	22_N/45,38	PEM	5675 W	200°	6°	1800 MHz
11	22_N/45,38	PEM	6310 W	200°	6°	2100 MHz
12	23_V/45,08	PEM	1904 W	200°	10°	800 MHz
13	24_GHT/45,08	PEM	1451 W	200°	7°	900 MHz
14	24_GHT/45,08	PEM	9890 W	200°	7°	2600 MHz
15	31_GTV/45,08	PEM	2347 W	290°	10°	800 MHz
16	31_GTV/45,08	PEM	1865 W	290°	10°	900 MHz
17	31_GTV/45,08	PEM	2347 W	350°	10°	800 MHz
18	31_GTV/45,08	PEM	1865 W	350°	10°	900 MHz
19	32_HL/45,38	PEM	5546 W	290°	7°	1800 MHz
20	32_HL/45,38	PEM	6128 W	290°	7°	2100 MHz
21	32_HL/45,38	PEM	6722 W	290°	7°	2600 MHz
22	32_HL/45,38	PEM	5546 W	350°	7°	1800 MHz
23	32_HL/45,38	PEM	6128 W	350°	7°	2100 MHz
24	32_HL/45,38	PEM	6722 W	350°	7°	2600 MHz
25	33_HN/45,38	PEM	5546 W	290°	7°	1800 MHz
26	33_HN/45,38	PEM	6128 W	290°	7°	2100 MHz
27	33_HN/45,38	PEM	6722 W	290°	7°	2600 MHz
28	33_HN/45,38	PEM	5546 W	350°	7°	1800 MHz
29	33_HN/45,38	PEM	6128 W	350°	7°	2100 MHz
30	33_HN/45,38	PEM	6722 W	350°	7°	2600 MHz
31	RL1/47,5	PEM	1413 W	12°		80 GHz
32	RL2/47,5	PEM	5888 W	84°		23 GHz
33	RL3/47,5	PEM	5248 W	121°		18 GHz
34	RL4/47,5	PEM	5888 W	176°		23 GHz
35	RL5/47,5	PEM	1413 W	315°		80 GHz

Dane po zmianie:

L.p.	Nazwa anteny / wysokość [m n.p.t.]	Rodzaj emisji	Równoważna moc promieniowana izotropowo	Azymut	Kąt pochylecia	Częstotliwość
1	11_L/45,38	PEM	7094 W	70°	6°	1800 MHz
2	11_L/45,38	PEM	7887 W	70°	6°	2100 MHz
3	12_HN/45,38	PEM	7094 W	70°	6°	1800 MHz
4	12_HN/45,38	PEM	7887 W	70°	6°	2100 MHz
5	13_V/45,08	PEM	3807 W	70°	10°	800 MHz
6	14_GHT/45,08	PEM	1935 W	70°	10°	900 MHz
7	14_GHT/45,08	PEM	9890 W	70°	10°	2600 MHz
8	21_L/45,38	PEM	7094 W	200°	6°	1800 MHz
9	21_L/45,38	PEM	7887 W	200°	6°	2100 MHz
10	22_HN/45,38	PEM	7094 W	200°	6°	1800 MHz
11	22_HN/45,38	PEM	7887 W	200°	6°	2100 MHz



G

12	23_V/45,08	PEM	3807 W	200°	10°	800 MHz
13	24_GHT/45,08	PEM	1935 W	200°	10°	900 MHz
14	24_GHT/45,08	PEM	9890 W	200°	10°	2600 MHz
15	31_GTV/45,08	PEM	4694 W	290°	10°	800 MHz
16	31_GTV/45,08	PEM	2487 W	290°	10°	900 MHz
17	31_GTV/45,08	PEM	4694 W	350°	10°	800 MHz
18	31_GTV/45,08	PEM	2487 W	350°	10°	900 MHz
19	32_HL/45,38	PEM	6933 W	290°	10°	1800 MHz
20	32_HL/45,38	PEM	7659 W	290°	10°	2100 MHz
21	32_HL/45,38	PEM	6722 W	290°	10°	2600 MHz
22	32_HL/45,38	PEM	6933 W	350°	10°	1800 MHz
23	32_HL/45,38	PEM	7659 W	350°	10°	2100 MHz
24	32_HL/45,38	PEM	6722 W	350°	10°	2600 MHz
25	33_HN/45,38	PEM	6933 W	290°	10°	1800 MHz
26	33_HN/45,38	PEM	7659 W	290°	10°	2100 MHz
27	33_HN/45,38	PEM	6722 W	290°	10°	2600 MHz
28	33_HN/45,38	PEM	6933 W	350°	10°	1800 MHz
29	33_HN/45,38	PEM	7659 W	350°	10°	2100 MHz
30	33_HN/45,38	PEM	6722 W	350°	10°	2600 MHz
31	RL1/47,5	PEM	1413 W	12°		80 GHz
32	RL2/47,5	PEM	5888 W	84°		23 GHz
33	RL3/47,5	PEM	5888 W	176°		23 GHz
34	RL4/47,5	PEM	1413 W	315°		80 GHz

6) Opis stosowanych metod ograniczania wielkości emisji.

Brak zmian.

7) Informacja, czy stopień ograniczania wielkości emisji jest zgodny z obowiązującymi przepisami.

Brak zmian.

8) (uchylony)

-/-

9) Sprawozdanie z wykonanych pomiarów poziomów pól EM, o których mowa w art. 122a ust. 1 pkt 1.

Sprawozdanie nr 60/06/OŚ/2022-P4-W z dnia 20 cze 2022, Nr akredytacji PCA – AB 1630.

Koordinator OŚ

Alicja Bogumił

kom. -

Podpis jest prawidłowy

Dokument podpisany przez

A 3

Data: 2022.06.20 12:47:26 CEST



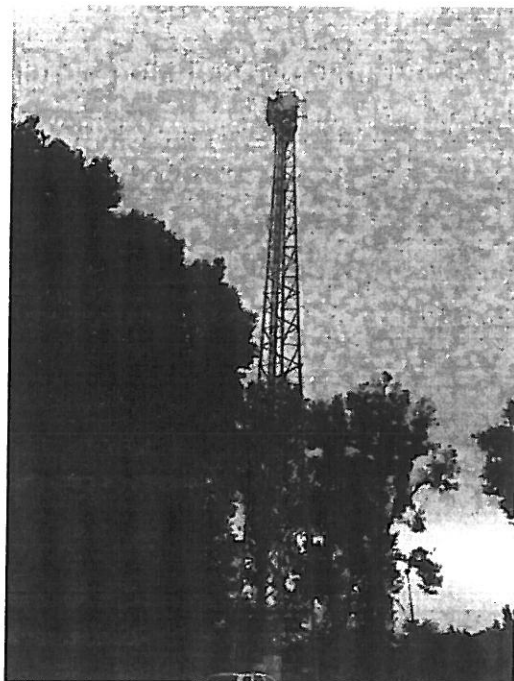
AB

L F Sp. J. U , P
ul. J: , 1
0/ -0 W

tel. +48 2

e-mail: l: _____ @e .pl

Sprawozdanie z pomiarów pól elektromagnetycznych - środowisko ogólne nr 60/06/OŚ/2022-P4-W



Nr i nazwa stacji	GST3302D		
Adres	Gostynin, ul. 18 Stycznia 36, pow. gostyniński, woj. mazowieckie		
Opracowanie	W	L	Specjalista ds. pomiarów
Autoryzacja	A	U	Kierownik Laboratorium
Podpis	Signature Not Verified Dokument podpisany przez A U Data: 2022 06 23 07:17:31 CL Powód: Zatwierdzam dokument		
Data	2022-06-20		

Spis treści

1. Informacje ogólne.....	3
2. Podstawa prawna.....	3
3. Opis pomiarów.....	3
4. Zróżnicowanie dopuszczalne poziomy pól elektromagnetycznych.....	5
5. Charakterystyka źródeł PEM.....	5
6. Wyniki pomiarów.....	6
7. Stwierdzenie zgodności	9
8. Oświadczenie.....	9
9. Spis załączników.....	9

1. Informacje ogólne.

Zleceniodawca	P Sp. z o.o., ul. Włocławska 1, 02-677 W osoba udzielająca informacji – M. E.
Istotne informacje dostarczone przez klienta	komplet informacji niezbędnych do wykonania pomiarów i opracowania sprawozdania
Dane otrzymane od klienta mogące mieć wpływ na ważność wyników	dane anten sektorowych, dane anten radioliniowych, parametry pracy instalacji, poprawka pomiarowa
Prowadzący instalację	P sp. z o.o., ul. Włocławska 1, 02-677 W
Lokalizacja obiektu	Gostynin, ul. 18 Stycznia 36, pow. gostyniński, woj. mazowieckie
Miejsce instalacji anten	wieża kratowa
Miejsce instalacji urządzeń	outdoor
Osoby wykonujące pomiar	R. M. - pomiarowiec
Data wykonania pomiaru	2022-06-20
Godzina rozpoczęcia pomiaru	13.45
Godzina zakończenia pomiaru	16.10
Temperatura na początku pomiaru [°C]	17
Temperatura na koniec pomiaru [°C]	17
Warunki atmosferyczne	brak opadów
Wilgotność na początku pomiaru [%]	93
Wilgotność na koniec pomiaru [%]	93
Inne źródła pól elektromagnetycznych	występują
Tryb pracy urządzeń	eksploatacyjny

2. Podstawa prawna.

2.1 Normy i rozporządzenia:

- Rozporządzeniem Ministra Klimatu z dnia 17 lutego 2020 r. w sprawie sposobów sprawdzania dotrzymania dopuszczalnych poziomów pól elektromagnetycznych w środowisku (Dz.U. 2020 poz. 258)
- Rozporządzenie Ministra Zdrowia z dnia 17 grudnia 2019 r. w sprawie dopuszczalnych poziomów pól elektromagnetycznych w środowisku (Dz.U. 2019 poz. 2448)
- Obwieszczenie Marszałka Sejmu Rzeczypospolitej Polskiej z dnia 19 lipca 2019 r. w sprawie ogłoszenia jednolitego tekstu ustawy - Prawo ochrony środowiska (Dz.U. 2019 poz. 1396).
- Rozporządzenie Ministra Klimatu i Środowiska z dnia 26 maja 2022 r. zmieniające rozporządzenie w sprawie sposobów sprawdzania dotrzymywania dopuszczalnych poziomów pól elektromagnetycznych w środowisku (Dz.U. 2022 poz. 1121)

3. Opis pomiarów

Metodologia pomiarowa	Pomiary w oparciu o Rozporządzeniem Ministra Klimatu z dnia 17 lutego 2020 r. w sprawie sposobów sprawdzania dotrzymania dopuszczalnych poziomów pól elektromagnetycznych w środowisku (Dz.U. 2020 poz. 258), Dokument PCA DAB-18 „Program akredytacji laboratoriów badawczych wykonujących pomiary pola elektromagnetycznego w środowisku” wyd. 1, Warszawa, 02.02.2017 r.
-----------------------	---

„Bez pisemnej zgody Laboratorium niniejsze sprawozdanie nie może być powielane inaczej, jak tylko w całości. Ponadto wyniki dotyczą tylko badanych obiektów przywołanych w niniejszym sprawozdaniu z badań”

Cel badań	Określenie wartości natężenia pola elektrycznego w miejscach dostępnych dla ludności.
Opis zestawu pomiarowego	<p>Miernik Narda NBM 550, Sonda EF 9091, o zakresie pomiarowym 0,7 V/m – 300V/m pracująca w paśmie 0,1 – 90 GHz, świadectwo wydane przez Laboratorium Wzorców i Metrologii Pola Elektromagnetycznego, Instytut Telekomunikacji, Teleinformatyki i Akustyki Politechniki Wrocławskiej. Świadectwo ważne do 10.06.2024 r.</p> <p>Miernik Narda NBM 550, Sonda EF 9091 pracująca w zakresie temperatury -10°C - +50°C oraz wilgotności 5% - 95%.</p> <p>Niepewność rozszerzona wynosi 58,8% przy poziomie ufności 95% z uwzględnieniem współczynnika rozszerzenia k=2.</p>
Wyposażenie pomocnicze	<p>Termohigrometr Bestone, typ: GM1362-EN-00, nr identyfikacyjny 1222436, świadectwo wzorcowania z dn. 22.12.2015 r. wydane przez Laboratorium Pomiarowe "MUTECH".</p> <p>Przymiar wstępowy STABILA, nr identyfikacyjny 5/WL/2016, świadectwo wzorcowania z dn. 06.09.2016 r. wydane przez Zespół Laboratoriów wzorcujących Okręgowego Urzędu Miar w Gdańsku.</p> <p>GPS Garmin 64s okresowo sprawdzany w punktach osnowy geodezyjnej klasy 3 na podstawie licencji punktu, zgodnie z procedurą sprawdzeń okresowych IS/PO-16-11/03.</p>
Pomiary zostały wykonane	<ol style="list-style-type: none"> 1. zgodnie z procedurą sprawdzeń okresowych IS/PO-16-11/03. na głównych i pomocniczych kierunkach pomiarowych, na kierunkach zbliżonych do azymutów anten oraz w dodatkowych pionach pomiarowych zgodnie z wymaganiami pkt 12, 13, 14 i 19 załącznika do rozporządzenia Ministra Klimatu z dnia 17 lutego 2020 r. (Dz. U. 2020, poz. 258), 2. na obszarze pomiarowym, dla którego, na podstawie uprzednio wykonanych obliczeń uzyskanych od zleceniodawcy, stwierdzono możliwość występowania pól elektromagnetycznych o poziomach zbliżonych do poziomów dopuszczalnych zgodnie z wymaganiami pkt 5 ppkt 2 oraz pkt 13 ppkt 1 załącznika do rozporządzenia Ministra Klimatu z dnia 17 lutego 2020 r. (Dz. U. 2020, poz. 258). Wyniki obliczeń nie uwzględniały parametrów pracy instalacji innych operatorów występujących na obiekcie bądź w obszarze pomiarowym. 3. w miejscach dostępnych dla ludności. 4. miejsca niedostępne podczas wykonywania pomiarów wskazane zostały w pkt 6 (tabeli wyniki pomiarów) 5. wyniki pomiarów uzyskane zostały przy uwzględnieniu poprawek pomiarowych przekazanych przez zleceniodawcę oraz przy rzeczywistych warunkach pracy instalacji innych operatorów (w przypadku występowania). W takiej sytuacji uwzględniono jednolitą poprawkę pomiarową wynoszącą 1,0.
Szczególne warunki podczas wykonywania pomiarów	Pomiary wykonane zostały podczas obowiązywania w kraju stanu epidemii, zgodnie z art. 122a ust. 1b Ustawy z dnia 27 kwietnia 2001 r. – Prawo ochrony środowiska (Dz. U. z 2019 r. poz. 1396, z późn. zm.9))
Warunki pracy urządzeń nadawczych	Podczas pomiarów zostały uwzględnione poprawki pomiarowe przekazane przez zleceniodawcę, umożliwiające uwzględnienie maksymalnych parametrów pracy instalacji zgodnie z pkt 7 załącznika do Rozporządzeniem Ministra Klimatu z dnia 17 lutego 2020 r. w sprawie sposobów sprawdzania dotrzymania dopuszczalnych poziomów pól elektromagnetycznych w środowisku (Dz. U. 2020, poz. 258).

4. Zróżnicowanie dopuszczalne poziomy pól elektromagnetycznych.

Zakresy znajdują się w Dzienniku Ustaw z dnia 17 grudnia 2019 r. przedstawione są w tabeli nr 2 (Dz. U. z 2019 r. poz. 2448).

Zakres częstotliwości pola elektromagnetycznego	Parametr fizyczny		
	Składowa elektryczna E (V/m)	Składowa magnetyczna H (A/m)	Gęstość mocy S (W/m ²)
od 400 MHz do 2000 MHz	$1,375 \times f^{0,5}$	$0,0037 \times f^{0,5}$	$f / 200$
od 2 GHz do 300 GHz	61	0,16	10

5. Charakterystyka źródeł PEM.

Zgodnie z informacją otrzymaną od klienta pomiary zostały wykonane przy ustawieniach pochylenia anten zgodnych z pkt. 13, ppkt 2 załącznika do rozporządzenia Ministra Klimatu z dnia 17 lutego 2020 roku.

Tabela 1. Anteny sektorowe - dane otrzymane od klienta

Charakterystyka promieniowania		kierunkowa													
Rzeczywisty czas pracy [h/dobę]		24													
Rodzaj wytwarzanego pola		stacjonarne													
Lp.	Wyszczególnienie	sektor 1							sektor 2						
I	Nadajnik stacji bazowej:														
1	Typ / Producent	DBS/RBS / Overlay Huawei/Ericsson													
2	Częstotliwość (pasmo) MHz	800	2600	900	2100	1800	2100	1800	800	2600	900	2100	1800	2100	1800
3	Maksymalna moc nadawana na sektor [dBm]	49,03	52,04	46,02	50	50	50	50	49,03	52,04	46,02	50	50	50	50
II	Obciążenie:														
1	Typ anteny	Huawei A794517R0	Huawei ATR4518R11	Kathrein 742213	Kathrein 742213	Huawei A794517R0	Huawei ATR4518R11	Kathrein 742213	Kathrein 742213						
2	Producent anteny	Huawei	Huawei	Kathrein	Kathrein	Huawei	Huawei	Kathrein	Kathrein						
3	Ilość anten	1	1	1	1	1	1	1	1						
4	Azymut	70							200						
5	Zakres kątów pochylenia anten [°]	0,00-10,00	0,00-10,00	0,00-10,00	0,00-6,00	0,00-6,00	0,00-6,00	0,00-6,00	0,00-10,00	0,00-10,00	0,00-10,00	0,00-6,00	0,00-6,00	0,00-6,00	0,00-6,00
6	Wysokość zainstalowania n.p.t. [m] (środek elektryczny anteny)	45,08	45,08	45,38	45,38	45,08	45,08	45,38	45,38						
7	EIRP [W]	3807	11825	14981	14981	3807	11825	14981	14981						

Charakterystyka promieniowania		kierunkowa															
Rzeczywisty czas pracy [h/dobę]		24															
Rodzaj wytwarzanego pola		stacjonarne															
Lp.	Wyszczególnienie	sektor 3								sektor 4							
I	Nadajnik stacji bazowej:																
1	Typ / Producent																
2	Częstotliwość (pasmo) MHz	900	800	2600	2100	1800	2600	2100	1800	900	800	2600	2100	1800	2600	2100	1800
3	Maksymalna moc nadawana na sektor [dBm]	46,02	49,03	49,03	50	50	49,03	50	50	46,02	49,03	49,03	50	50	49,03	50	50
II	Obciążenie:																
1	Typ anteny	Huawei AMB4519R0		Huawei AMB4520R0		Huawei AMB4520R0		Huawei AMB4519R0		Huawei AMB4520R0		Huawei AMB4520R0					
2	Producent anteny	Huawei		Huawei		Huawei		Huawei		Huawei		Huawei					
3	Ilość anten	1		1		1		1		1		1					
4	Azymut	290						350									
5	Zakres kątów pochylenia anten [°]	0,00-10,00						0,00-10,00									
6	Wysokość zainstalowania n.p.t. [m] (środek elektryczny anteny)	45,08		45,38		45,38		45,08		45,38		45,38					
7	EIRP [W]	7181		21314		21314		7181		21314		21314					

Tabela 2. Anteny radioliniowe - dane otrzymane od klienta

Charakterystyka promieniowania		kierunkowa					
Rzeczywisty czas pracy [h/dobę]		24					
Rodzaj wytwarzanego pola		stacjonarne					
Lp.	Linia radiowa			Antena			
	typ/producent	częstotliwość pracy [GHz]	moc wyjściowa [dBm]	typ/producent	średnica anteny [m]	azymut [°]	wysokość zainstalowania n.p.t. [m] (środek elektryczny anteny)
1	OPTIX RTN/HUAWEI	80	18	VHLP1-80/Andrew	0,3	12	47,50
2	MINI-LINK/ERICSSON	23	27	ANT3 B 0.6 23 HP/HPX/Ericsson	0,6	84	47,50
3	MINI-LINK/ERICSSON	23	27	ANT3 B 0.6 23 HP/HPX/Ericsson	0,6	176	47,50
4	OPTIX RTN/HUAWEI	80	18	VHLP1-80/Andrew	0,3	315	47,50

6. Wyniki pomiarów.

Wyniki pomiarów pól elektromagnetycznych dla celów ochrony środowiska przedstawia poniższa tabela. Piony pomiarowe zostały przedstawione w zał. 2.

Nr PP	Pole-E [V/m]	Pole-E *k _E +U [V/m]	Pole-H [A/m]	Pole-H *k _E +U [A/m]	Wysokość pomiaru [m]	Współrzędne PP x, y	Opis PP	WM _E	WM _H
1	1,3	2,06	0,003	0,005	0,3 - 2,0	52°24'52.65" N 19°28'23.59" E	otoczenie stacji bazowej - 50 m wzdłuż gł. osi promieniowania - GKP	0,075	0,075

Nr PP	Pole-E [V/m]	Pole-E *k _E +U [V/m]	Pole-H [A/m]	Pole-H * k _E +U [A/m]	Wysokość pomiaru [m]	Współrzędne PP x, y	Opis PP	WM _E	WM _H
2	0,7*	1,27	0,002	0,003	0,3 - 2,0	52°24'54.31" N 19°28'31.04" E	otoczenie stacji bazowej - 200 m wzdłuż gł. osi promieniowania - GKP	0,046	0,046
3	1,2	1,91	0,003	0,005	0,3 - 2,0	52°24'55.42" N 19°28'36.02" E	otoczenie stacji bazowej - 300 m wzdłuż gł. osi promieniowania - GKP	0,069	0,069
4	1,0	1,59	0,003	0,004	0,3 - 2,0	52°24'56.53" N 19°28'40.99" E	otoczenie stacji bazowej - 400 m wzdłuż gł. osi promieniowania - GKP	0,058	0,058
5	0,7*	1,27	0,002	0,003	0,3 - 2,0	52°24'57.08" N 19°28'43.47" E	otoczenie stacji bazowej - 454 m wzdłuż gł. osi promieniowania - GKP	0,046	0,046
6	1,1	1,75	0,003	0,005	0,3 - 2,0	52°24'50.58" N 19°28'20.2" E	otoczenie stacji bazowej - 50 m wzdłuż gł. osi promieniowania - GKP	0,064	0,063
7	1,1	1,75	0,003	0,005	0,3 - 2,0	52°24'49.06" N 19°28'19.29" E	otoczenie stacji bazowej - 100 m wzdłuż gł. osi promieniowania - GKP	0,064	0,063
8	0,7*	1,27	0,002	0,003	0,3 - 2,0	52°24'46.02" N 19°28'17.48" E	otoczenie stacji bazowej - 200 m wzdłuż gł. osi promieniowania - GKP	0,046	0,046
9	1,1	1,75	0,003	0,005	0,3 - 2,0	52°24'42.98" N 19°28'15.67" E	otoczenie stacji bazowej - 300 m wzdłuż gł. osi promieniowania - GKP	0,064	0,063
10	1,1	1,75	0,003	0,005	0,3 - 2,0	52°24'39.94" N 19°28'13.86" E	otoczenie stacji bazowej - 400 m wzdłuż gł. osi promieniowania - GKP	0,064	0,063
11	0,7*	1,27	0,002	0,003	0,3 - 2,0	52°24'38.42" N 19°28'12.96" E	otoczenie stacji bazowej - 454 m wzdłuż gł. osi promieniowania - GKP	0,046	0,046
12	1,0	1,59	0,003	0,004	0,3 - 2,0	52°24'53.21" N 19°28'16.13" E	otoczenie stacji bazowej - 100 m wzdłuż gł. osi promieniowania - GKP	0,058	0,058
13	0,7*	1,27	0,002	0,003	0,3 - 2,0	52°24'54.31" N 19°28'11.16" E	otoczenie stacji bazowej - 200 m wzdłuż gł. osi promieniowania - GKP	0,046	0,046
14	0,8	1,27	0,002	0,003	0,3 - 2,0	52°24'55.42" N 19°28'6.18" E	otoczenie stacji bazowej - 300 m wzdłuż gł. osi promieniowania - GKP	0,046	0,046
15	1,2	1,91	0,003	0,005	0,3 - 2,0	52°24'56.53" N 19°28'1.21" E	otoczenie stacji bazowej - 400 m wzdłuż gł. osi promieniowania - GKP	0,069	0,069
16	1,5	2,38	0,004	0,006	0,3 - 2,0	52°24'57.08" N 19°27'58.73" E	otoczenie stacji bazowej - 454 m wzdłuż gł. osi promieniowania - GKP	0,087	0,087
17	1,2	1,91	0,003	0,005	0,3 - 2,0	52°24'53.69" N 19°28'20.64" E	otoczenie stacji bazowej - 50 m wzdłuż gł. osi promieniowania - GKP	0,069	0,069
18	1,0	1,59	0,003	0,004	0,3 - 2,0	52°24'55.29" N 19°28'20.18" E	otoczenie stacji bazowej - 100 m wzdłuż gł. osi promieniowania - GKP	0,058	0,058
19	0,7*	1,27	0,002	0,003	0,3 - 2,0	52°24'58.47" N 19°28'19.26" E	otoczenie stacji bazowej - 200 m wzdłuż gł. osi promieniowania - GKP	0,046	0,046
20	0,9	1,43	0,002	0,004	0,3 - 2,0	52°25'1.66" N 19°28'18.34" E	otoczenie stacji bazowej - 300 m wzdłuż gł. osi promieniowania - GKP	0,052	0,052
21	1,4	2,22	0,004	0,006	0,3 - 2,0	52°25'4.84" N 19°28'17.42" E	otoczenie stacji bazowej - 400 m wzdłuż gł. osi promieniowania - GKP	0,081	0,081
22	0,7*	1,27	0,002	0,003	0,3 - 2,0	52°25'6.44" N 19°28'16.97" E	otoczenie stacji bazowej - 450 m wzdłuż gł. osi promieniowania - GKP	0,046	0,046
23	1,2	1,91	0,003	0,005	0,3 - 2,0	52°24'53.68" N 19°28'21.65" E	otoczenie stacji bazowej - 50 m wzdłuż gł. osi promieniowania - GKP	0,069	0,069
24	1,0	1,59	0,003	0,004	0,3 - 2,0	52°24'55.26" N 19°28'22.2" E	otoczenie stacji bazowej - 100 m wzdłuż gł. osi promieniowania - GKP	0,058	0,058
25	1,3	2,06	0,003	0,005	0,3 - 2,0	52°24'52.27" N 19°28'23.73" E	otoczenie stacji bazowej - 50 m wzdłuż gł. osi promieniowania - GKP	0,075	0,075
26	0,9	1,43	0,002	0,004	0,3 - 2,0	52°24'52.44" N 19°28'26.36" E	otoczenie stacji bazowej - 100 m wzdłuż gł. osi promieniowania - GKP	0,052	0,052
27	1,1	1,75	0,003	0,005	0,3 - 2,0	52°24'50.49" N 19°28'21.28" E	otoczenie stacji bazowej - 50 m wzdłuż gł. osi promieniowania - GKP	0,064	0,063
28	1,0	1,59	0,003	0,004	0,3 - 2,0	52°24'48.87" N 19°28'21.47" E	otoczenie stacji bazowej - 100 m wzdłuż gł. osi promieniowania - GKP	0,058	0,058
29	0,9	1,43	0,002	0,004	0,3 - 2,0	52°24'53.24" N 19°28'19.23" E	otoczenie stacji bazowej - 50 m wzdłuż gł. osi promieniowania - GKP	0,052	0,052

Nr PP	Pole-E [V/m]	Pole-E *k _E +U [V/m]	Pole-H [A/m]	Pole-H * k _E +U [A/m]	Wysokość pomiaru [m]	Współrzędne PP x, y	Opis PP	WM _E	WM _H
30	0,9	1,43	0,002	0,004	0,3 - 2,0	52°24'54.39" N 19°28'17.36" E	otoczenie stacji bazowej - 100 m wzdłuż gł. osi promieniowania - GKP	0,052	0,052
A	1,2	1,91	0,003	0,005	0,3 - 2,0	52°24'52.4" N 19°28'19.4" E	ul. 18 Stycznia 36, pomiar przy budynku - DPP	0,069	0,069
B	1,2	1,91	0,003	0,005	0,3 - 2,0	52°24'52.1" N 19°28'24.5" E	ul. Jagiellończyka 40, pomiar przy ogrodzeniu - DPP	0,069	0,069
C	1,3	2,06	0,003	0,005	0,3 - 2,0	52°24'52.6" N 19°28'24.5" E	ul. Jagiellończyka 38, pomiar przy budynku - DPP	0,075	0,075
D	1,2	1,91	0,003	0,005	0,3 - 2,0	52°24'53.1" N 19°28'23.6" E	ul. Jagiellończyka 36, pomiar przy ogrodzeniu - DPP	0,069	0,069
E	1,2	1,91	0,003	0,005	0,3 - 2,0	52°24'53.5" N 19°28'23.1" E	ul. Jagiellończyka 34, pomiar przy ogrodzeniu - DPP	0,069	0,069
F	1,1	1,75	0,003	0,005	0,3 - 2,0	52°24'54.0" N 19°28'22.6" E	ul. Jagiellończyka 32, pomiar przy ogrodzeniu - DPP	0,064	0,063
G	1,0	1,59	0,003	0,004	0,3 - 2,0	52°24'55.0" N 19°28'21.8" E	ul. 18 Stycznia 41, pomiar przy budynku - DPP	0,058	0,058
H	1,2	1,91	0,003	0,005	0,3 - 2,0	52°24'52.9" N 19°28'26.7" E	ul. Sadownika 1/3, pomiar przy budynku - DPP	0,069	0,069
I	0,7*	1,27	0,002	0,003	0,3 - 2,0	52°24'53.4" N 19°28'28.8" E	ul. Sadownika 5/7, pomiar przy ogrodzeniu - DPP	0,046	0,046
J	0,7*	1,27	0,002	0,003	0,3 - 2,0	52°24'54.2" N 19°28'30.4" E	ul. Sadownika 2/4, pomiar przy ogrodzeniu - DPP	0,046	0,046
K	1,2	1,91	0,003	0,005	0,3 - 2,0	52°24'55.5" N 19°28'38.0" E	ul. Piaskowa 19, pomiar przy budynku - DPP	0,069	0,069
L	0,7*	1,27	0,002	0,003	0,3 - 2,0	52°24'46.7" N 19°28'18.7" E	ul. 1 Grudnia 1939 r. 40, pomiar przy budynku - DPP	0,046	0,046
M	0,7*	1,27	0,002	0,003	0,3 - 2,0	52°24'56.3" N 19°28'15.4" E	ul. 18 Stycznia 36, pomiar przy budynku - DPP	0,046	0,046
N	0,9	1,43	0,002	0,004	0,3 - 2,0	52°24'54.8" N 19°28'11.2" E	ul. Kolonia 11a, pomiar przy ogrodzeniu - DPP	0,052	0,052
O	0,7*	1,27	0,002	0,003	0,3 - 2,0	52°24'54.5" N 19°28'08.9" E	ul. Kolonia 13c, pomiar przy budynku - DPP	0,046	0,046
P	0,8	1,27	0,002	0,003	0,3 - 2,0	52°24'55.0" N 19°28'07.2" E	ul. Kolonia 13, pomiar przy budynku - DPP	0,046	0,046
R	1,1	1,75	0,003	0,005	0,3 - 2,0	52°24'55.5" N 19°28'05.2" E	ul. Kolonia 10a, pomiar przy budynku - DPP	0,064	0,063
S	0,7*	1,27	0,002	0,003	0,3 - 2,0	52°24'56.7" N 19°28'19.9" E	ul. Jagiellończyka 22, pomiar przy ogrodzeniu - DPP	0,046	0,046
T	0,7*	1,27	0,002	0,003	0,3 - 2,0	52°24'58.3" N 19°28'19.8" E	ul. 18 Stycznia 39, pomiar przy ogrodzeniu - DPP	0,046	0,046
U	0,9	1,43	0,002	0,004	0,3 - 2,0	52°25'00.8" N 19°28'19.1" E	ul. Jagiellończyka 3, pomiar przy ogrodzeniu - DPP	0,052	0,052
V	0,7*	1,27	0,002	0,003	0,3 - 2,0	52°25'02.7" N 19°28'19.8" E	ul. Szydłowieckiego 7, pomiar przy ogrodzeniu - DPP	0,046	0,046
W	0,7*	1,27	0,002	0,003	0,3 - 2,0	52°25'04.1" N 19°28'18.4" E	ul. Szydłowieckiego 13, pomiar przy ogrodzeniu - DPP	0,046	0,046
X	0,8	1,27	0,002	0,003	0,3 - 2,0	52°25'05.2" N 19°28'18.0" E	ul. Kochanowskiego 3, pomiar przy budynku - DPP	0,046	0,046

Wynik pomiaru pole - E [V/m] - maksymalna wartość chwilowa zmierzona w danych pionie pomiarowym (uśredniona na podstawie punktu 11 Załącznika do Rozporządzenia Ministra Zdrowia).

Przyjęto najniższą dopuszczalną wartość składowej elektrycznej pola dla objętego pomiarami zakresu częstotliwości min(MEgr)= 28 V/m oraz składowej magnetycznej min(MHgr)= 0,073 A/m.

* - wartość zmierzona poniżej zakresu akredytacji. Do obliczeń przyjęto wartość zgodną z dolną granicą akredytowanego zakresu pomiarowego metody.

GKP - główne kierunki pomiarowe
 PKP - pomocnicze kierunki pomiarowe
 DPP - dodatkowe punkty pomiarowe
 PP - pion pomiarowy

- U - niepewność rozszerzona wynosi 58,8% przy poziomie ufności 95% z uwzględnieniem współczynnika rozszerzenia $k=2$.
 k_E - poprawka pomiarowa badanej instalacji radiokomunikacyjnej podana przez operatora ($k_E=1,0$),
 WM_E - wartość wskaźnikowa poziomu emisji pól elektromagnetycznych dla miejsc dostępnych dla ludności dla składowej elektrycznej pola
 WM_H - wartość wskaźnikowa poziomu emisji pól elektromagnetycznych dla miejsc dostępnych dla ludności dla składowej magnetycznej pola

7. Stwierdzenie zgodności

Na podstawie wytycznych podanych w Rozporządzeniu Ministra Zdrowia z dnia 17 grudnia 2019 r. w sprawie dopuszczalnych poziomów pól elektromagnetycznych w środowisku (Dz.U. 2019 poz. 2448) oraz sposobów sprawdzania dotrzymania tych poziomów zgodnie z Rozporządzeniem Ministra Klimatu z dnia 17 lutego 2020 r. w sprawie sposobów sprawdzania dotrzymania dopuszczalnych poziomów pól elektromagnetycznych w środowisku (Dz.U. 2020 poz. 258) dotyczących źródła wymagań, które muszą być spełnione (załącznik do rozporządzenia Ministra Klimatu z dnia 17 lutego 2020 r. (poz. 258)), w oparciu o zasadę podejmowania decyzji zgodną z pkt 26 załącznika do rozporządzenia Ministra Klimatu z dnia 17 lutego 2020 r. (poz. 258), na podstawie wyników pomiarów pól elektromagnetycznych wykonanych w dniu 20.06.2022 stwierdzono, iż w miejscach dostępnych dla ludności, dopuszczalne poziomy pól elektromagnetycznych w środowisku, określone w przepisach wydanych na podstawie art. 122 ust. 1 ustawy z dnia 27 kwietnia 2001 r. – Prawo ochrony środowiska, uznaje się za dotrzymane w obszarze pomiarowym, w którym w wyniku zastosowania sposobu sprawdzenia dotrzymania dopuszczalnych poziomów pól elektromagnetycznych w środowisku, udokumentowano, że żadna z wartości wskaźnikowych nie przekracza wartości 1.

8. Oświadczenie.

Wyniki badania odnoszą się wyłącznie do badanego obiektu.

Bez pisemnej zgody sprawozdanie nie może być powielane inaczej, jak tylko w całości.

Uwagi i zastrzeżenia przyjmowane są w formie pisemnej w ciągu 14 dni od daty otrzymania sprawozdania.

9. Spis załączników.

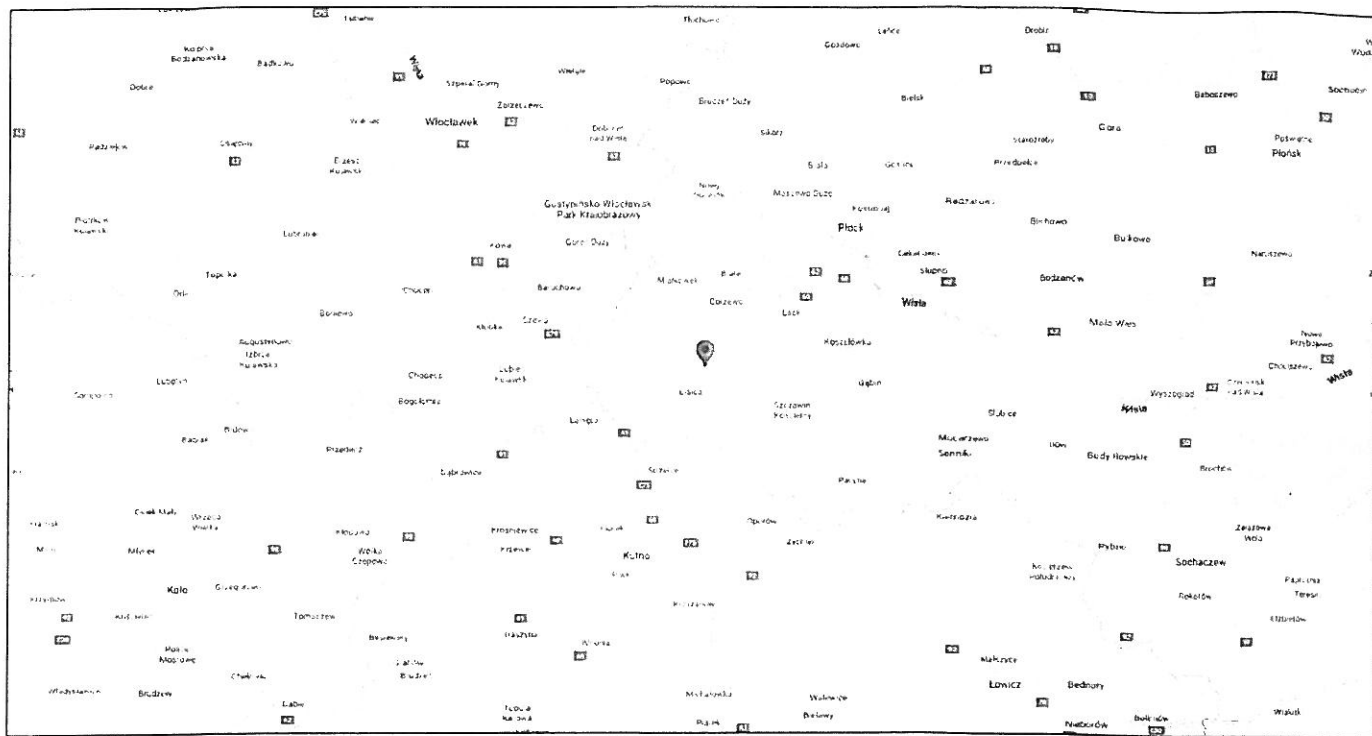
Zał. 1. Lokalizacja obiektu.

Zał. 2. Widok pionów pomiarowych

Zał. 3. Widok stacji bazowej

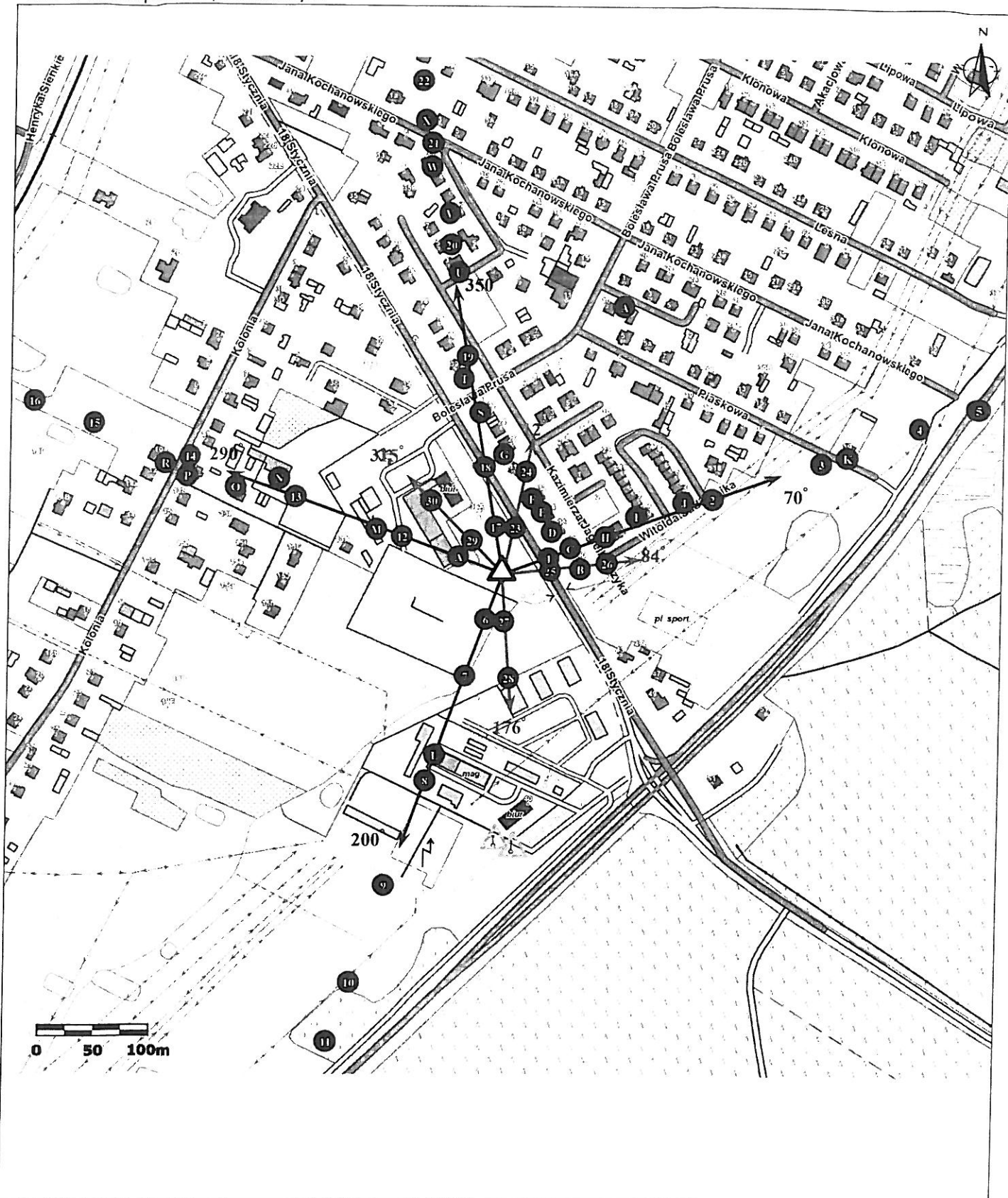
Koniec sprawozdania

Zał. 1. Lokalizacja obiektu

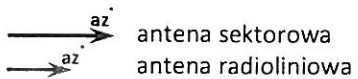


Współrzędne geograficzne	
szerokość:	52°24'52.06"N
długość:	19°28'21.14"E

Zał. 2. Widok pionów pomiarowych



<p>LEGENDA:</p>	
	instalacja radiokomunikacyjna
	inna instalacja radiokomunikacyjna
	brak dostępu
	pion pomiarowy ze współczynnikiem podanym przez operatora
	pion pomiarowy w zasięgu innej instalacji radiokomunikacyjnej ze współczynnikiem 2
<p>Odstęłość, do której zostały wykonane pomiary, mierząc od instalacji antenowej, wynosi min. 454 m</p>	



Skala 1: 5000

Załącznik 3. Załączniki graficzne

